

東海大学工学部 正員 稲田 優 権
 東海大学工学部 正員 赤石 勝
 東建地質調査(株) 正員 ○深見 史郎

1. まえがき

サンドドレーン法は、1948年R.A.Barrowによって理論的解析法が提案されてから、軟弱地盤の重要な改良工法として急速に普及した。しかし理論的解析法が確立され、多くの施工例などが報道されているにもかかわらず、近年その有効性に關し議論されることが多い。サンドドレーン法の圧密促進効果に関する問題点として、現場における施工上の問題点のほか、(1)R.A.Barrowの理論的解析法は、等方的な応力条件にのみ適合し、一次元圧密における側方拘束圧の減少や二次圧密現象を考慮していない。(2)砂柱に対する応力集中とその再配分現象などが無視されている。よって本報告は、一次元圧密中の側圧の減少が土の変形に及ぼす影響および砂柱の応力集中効果を考慮した解析法を提案し、室内実験によってその妥当性を証明したものである。

2. ダイレイタンシー効果および砂柱への応力集中を考慮した一次元圧密解析法

砂柱を設置した粘土層に盛工荷重が作用した場合、粘土部分と砂柱部分の圧縮率に差があれば、圧縮率の大きい方に応力が集中する。この応力集中の程度を表わす係数 R を応力集中係数として式(1)のように定義する。ここに、 σ_1 は盛工による載荷応力、 σ_3 は砂柱部の鉛直応力である。いま図-1に示すように、砂柱がある複合供試体に盛工荷重 σ_1 が載荷されたとき、砂柱への応力集中があるので、粘土部分に生じる最大・最小主応力をそれぞれ σ_c 、 σ_o とし、軸対称応力状態における粘土部分に作用する有効等価圧密圧力を式(2)のように定義する。ここに、 $\bar{\sigma}_m = (\bar{\sigma}_c + 2\bar{\sigma}_o)/3$ 、 $\sigma_d = \bar{\sigma}_c - \bar{\sigma}_o$ 、 $D_t = A_t - \frac{1}{2}$ 、 A_t は間隔 e の圧密係数、 U は残留間隔 e 水圧である。また D_t はダイレイタンシー係数と呼ぶことにする。有効等価圧密圧力を用いて、サンドドレーンの一次元圧密基礎方程式を表わせば式(3)が得られる。ここに、 C_h 、 C_v はそれぞれ水平・鉛直方向の圧密係数である。 $\bar{\sigma}_{cv} = \bar{\sigma}_{cv} - \bar{\sigma}U$ を式(3)に代入すれば、式(4)が得られる。式(4)の $\frac{\partial \sigma}{\partial t}$ は一次元圧密中の発生間隔 e 水圧の変化率であり、粘土部分のダイレイタンシー特性や砂柱への応力集中によって影響をうける。

3. 試料および実験方法

実験に用いた粘土試料は、埼玉県越谷市草加バイパスで採取した練返し飽和粘土である。試料の物理的性質は、表-1に示す通りである。またドレン材としては、山口県豊島郡豊島町を用いた。

3.1 複合供試体の等方圧密試験と平均主応力一定試験

提案法の計算をするにあたって、応力集中係数 R を定量的に表わす必要がある。一次元あるいは異方応力状態の圧密試験から直接応力集中特性を把握するにはむずかしいので実験条件を二つに分け、複合供試体を用いた等方圧密試験と平均主応力一定試験を行なった。供試体の大きさは、複合供試体全体の直径 $d_e = 11\text{cm}$ 、砂柱の直径 $d_w = 2.2\text{cm}$ であり、直徑の比 $e = d_e/d_w = 5$ である。また砂を一定の間隔 e 化($e = 0.47$)で詰めた。

$$R = \sigma_c/\sigma_1 \quad \dots \dots \dots (1)$$

$$\begin{aligned} \bar{\sigma}_m &= \bar{\sigma}_c + D_t \bar{\sigma}_o \\ \bar{\sigma}_v &= \bar{\sigma}_v - U \end{aligned} \quad \dots \dots \dots (2)$$

$$\frac{\partial \bar{\sigma}_v}{\partial t} = \left\{ C_h \left(\frac{\partial^2 U}{\partial r^2} + \frac{1}{r} \frac{\partial U}{\partial r} \right) + C_v \frac{\partial^2 U}{\partial z^2} \right\} \quad \dots \dots \dots (3)$$

$$\frac{\partial U}{\partial t} = C_h \left(\frac{\partial^2 U}{\partial r^2} + \frac{1}{r} \frac{\partial U}{\partial r} \right) + C_v \frac{\partial^2 U}{\partial z^2} + \frac{\partial \bar{\sigma}_v}{\partial t} \quad \dots \dots \dots (4)$$

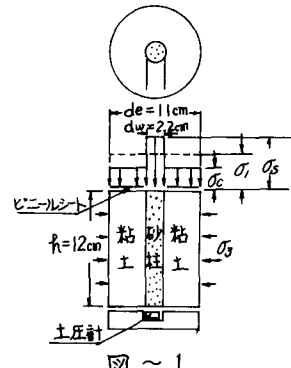
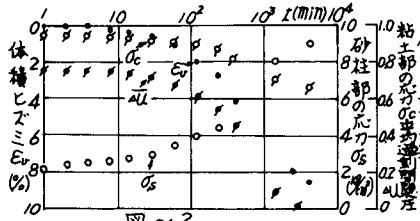


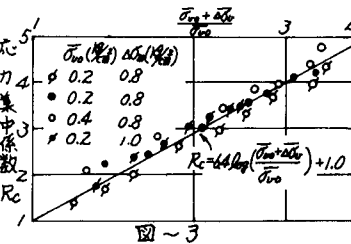
図-1

表-1 粘土試料の物理的性質

G_s	$W_L\%$	I_p	粘土%	シルト%
2.67	59.5	30.2	41.0	59.0



図～2



図～3

等方圧密試験における排水条件は、砂柱部上端からのみ排水をやるとした。等方圧密試験終了後、ヒズミ制御法により約0.1%/minの速さで鉛直荷重を加えるとともに平均主応力 $\Delta\sigma_m = \frac{\Delta\sigma_1 + \Delta\sigma_3}{2} = 0$ になるように側圧を逐次変える平均主応力一定試験を行なった。

3.2 室内大型圧密試験 提案した解析法の妥当性を検証するため、圧密リング直徑20cmの大型圧密試験装置を用いる、通常の一次元圧密試験を実施した。砂柱の直徑2種類、本数で1本と16本とに変化させたが、砂柱の直徑 d_w と有効径 de の比はいすれも $de/d_w = 5$ の一一定に保つようにし、砂の間ヶヶキ比($e=0.47$)を一定に詰めた。

4 実験結果と考察

4.1 解析に用いる応力集中係数 R_c の決定 図～2は、複合供試体の等方圧密試験結果である。圧密荷重 $\Delta\sigma_m$ を等方的に加えているにもかかわらず、粘土と砂の変形特性の違いから圧密とともに砂柱部には、非常に大きな応力が集中する。そのため体積 V に加わる応力 $\Delta\sigma_1$ は、相対的に減少している。等方圧密試験では、 $\Delta\sigma_3 = 0$ であるから式(2)より、 $\Delta\sigma_1 = \frac{\Delta\sigma_1 + \Delta\sigma_3}{2}$ のようになり、この場合の応力集中係数 R_c を R_c とし、初期 ϵ_{01} と有効等価圧密圧力 $\Delta\sigma_{eq}$ および $\Delta\sigma_0$ を用いて図～3に R_c と $\frac{\Delta\sigma_{eq}}{\Delta\sigma_0}$ の関係を示した。 R_c は $\frac{\Delta\sigma_{eq}}{\Delta\sigma_0}$ の対数に比例して増加している。この直線性に着目して実験式(5)が得られる。

$R_c = \alpha \log \frac{\Delta\sigma_{eq}/\Delta\sigma_0}{\Delta\sigma_0} + 1.0 \quad \dots \dots (5)$ ここに α は定数である。図～4は複合供試体の平均主応力一定試験の結果である。等方圧密試験終了後、砂柱に集中していた応力がゼン断変形とともに減少している。平均主応力一定試験では、 $\Delta\sigma_m = 0$ であるので式(2)は $\Delta\sigma_1 = D_t(\Delta\sigma_1 - \Delta\sigma_3)$ である、この場合の応力集中係数 R_d を R_d とし、主応力差増分 $\Delta\sigma_d$ との関係をプロットしたのが図～5である。図～5からゼン断変形は、等方圧密中砂柱に集中した応力を緩和する傾向が伺われる。主応力差増分 $\Delta\sigma_d$ がわざよそ0.7~0.8%程度以下では、 R_d と $\Delta\sigma_d$ が比例関係にあると考えられるので実験式(6)が得られる。 $R_d = \beta \cdot \Delta\sigma_d \quad \dots \dots (6)$ ここに β は定数である。したがって式(5)と式(6)より、一次元圧密中の応力集中係数 R は式(7)のように表わされる。 $R = R_c + R_d = \alpha \log \frac{\Delta\sigma_{eq}/\Delta\sigma_0}{\Delta\sigma_0} + \beta \cdot \Delta\sigma_d + 1.0 \quad \dots \dots (7)$

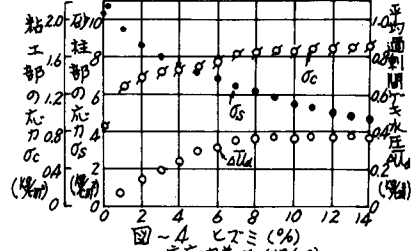
4.2 提案法の検証 図～6は、室内大型圧密試験結果と提案法によって解析した結果を比較したものである。なお提案法の詳細は、昨年と本年度の工質工学研究発表会で報告するのでここでは省略する。また図～6には比較のため、 $C_v = 0.024 \text{ cm}^2/\text{min}$, $m_v = 0.085 \text{ cm}^3/\text{kg}$ の値を用いて計算したBaron解も示した。実験結果とBaron解の大きな違いは、圧密速度ヒニセ压密であろう。このくい違いの主要因は、Baron解が一次元圧密中土に加わる応力の異方性やダイレイタシーやの影響を考慮していないことと思われる。Baron解よりも提案法による解析結果のほうが、圧密速度、ヒズミ量、二次圧密のどれをとっても実験結果とよく一致していると思われる。

[参考文献] 1) 舟田赤石“一次元圧密の一解法”第11回土質工学研究発表会講演集、昭和51年

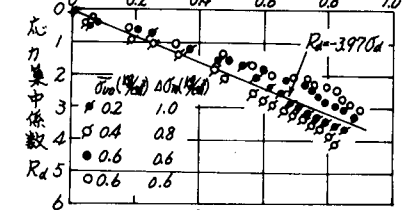
2) 舟田赤石似内“一次元圧密におけるダイレイタシーエフエク”第12回土質工学研究発表会講演集、昭和52年

複合供試体の実験条件

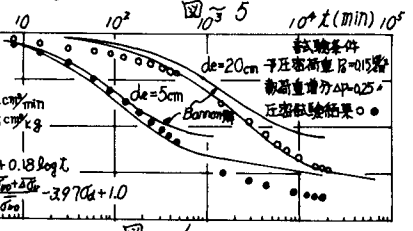
- ・等方圧密試験 平均主応力一定試験
- ・載荷前応力引張能 試験前応力引張能
- ・ $\bar{\sigma}_1 - \bar{\sigma}_3 = 0.2, 0.4 \text{ kg/cm}^2$
- ・ $\sigma_1 = \sigma_3 = 1.2 \text{ kg/cm}^2$
- ・載荷量増分 平均主応力
- ・ $\Delta\sigma_1 = \Delta\sigma_3 = 40 \text{ m}$
- ・ $\sigma_m = \bar{\sigma}_{10} + \Delta\sigma_m$
- ・ $= 0.8, 1.0 \text{ kg/cm}^2$
- ・ $= 1.2 \text{ kg/cm}^2 = \text{const}$



図～4 ヒズミ (%)



図～5 主応力差増分 Δσ_d (kg/cm²)



図～6